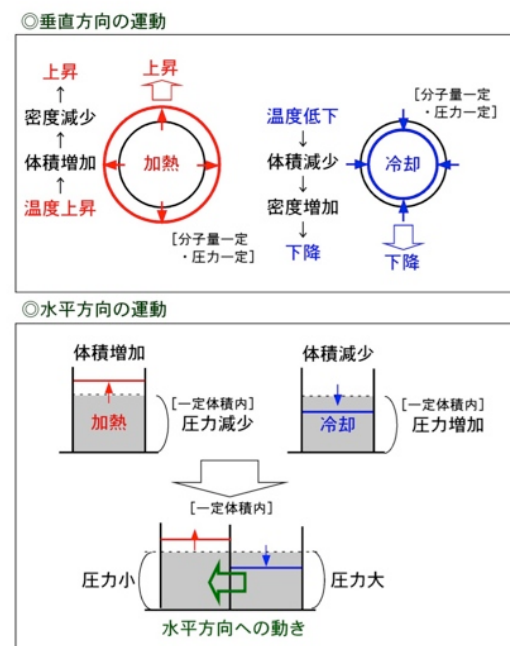


サブシステム：気圧

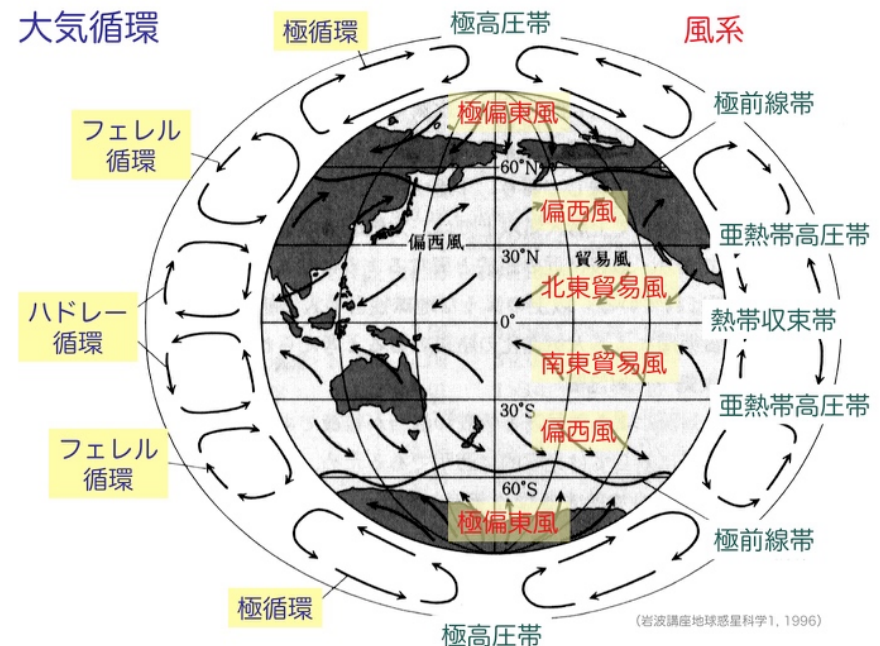
大気の運動

- ・垂直方向：
密度差（浮力）
- ・水平方向：
気圧差（気圧傾動力）

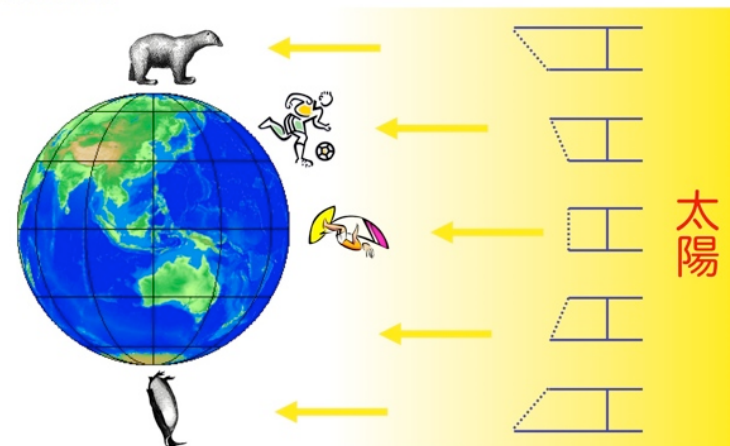
★ 温度差



大気循環



太陽放射

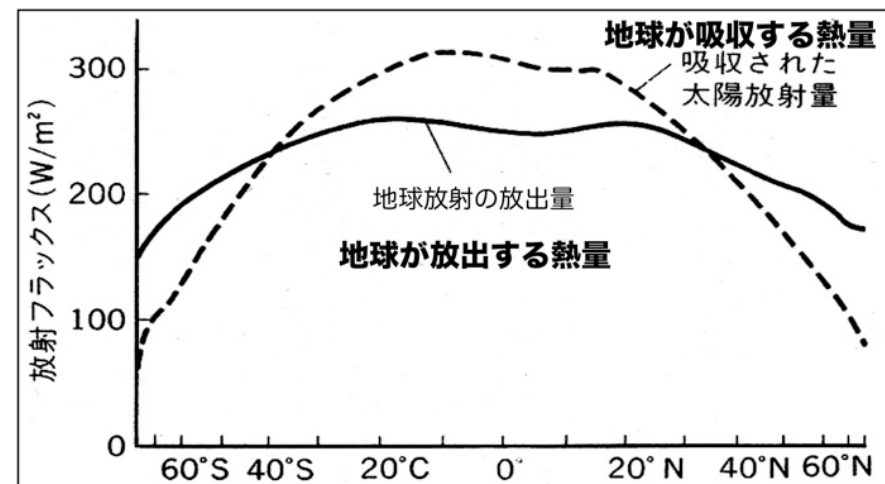


緯度の違い → 太陽高度の違い

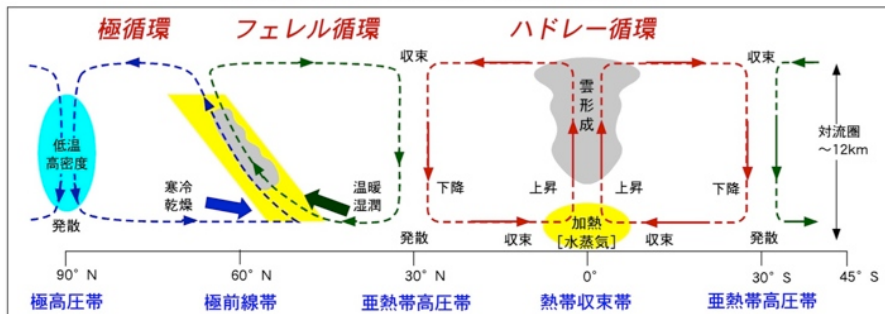
- 単位面積当たりの日射量の違い（赤道域：大、極域：小）
- 温度分布を決定

太陽放射の吸収量、地球放射の放出量

(中島, 1993)



大気循環・・・日射量の緯度変化
 → エネルギー収支の南北不均衡
 → 大気の南北方向の運動（不均衡の是正）



[中・高緯度域]
 ◆極域：**極高圧帯**
 ・下降流（低温・高密度、乾燥）
 → 赤道方向への流れ
 ◆亜熱帯高圧帯から極方向への流れ
 （高温・低密度、湿潤）
 → 60°N, 60°S付近で大気の混合
 極前線帯を形成
 （低気压域、高気圧域の発生）

[赤道域]
 ◆熱帯域：**熱帯収束域**・上昇流（低圧域）
 雲の形成 → 潜熱の解放（加熱）
 → 上昇流の助長
 ◆30°N, 30°S：**亜熱帯高圧帯**・下降流（高圧域）
 下降（温度上昇・飽和水蒸気上昇）
 → 乾燥大気 → 砂漠域

コリオリ効果

地球上を移動する物体

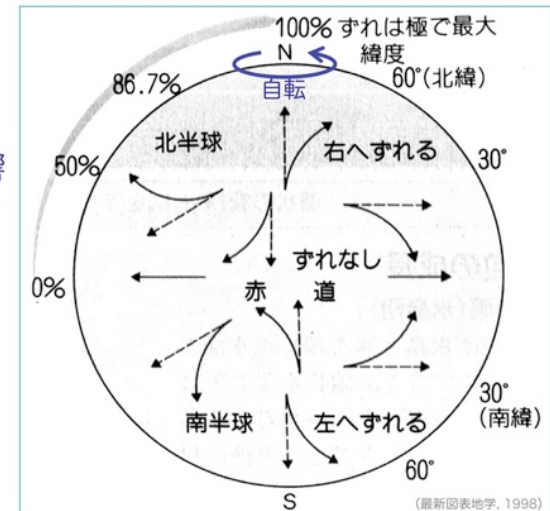
進行方向に対して
 北半球：右ずれ
 南半球：左ずれ

地球の自転による影響

◆コリオリ力（轉向力）
 地球上を移動する物体が、
 地球が自転しているために
 受ける見かけの力

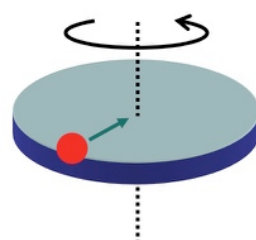
進行方向に対して直交
 ・北半球：右向き
 ・南半球：左向き

大きさ： $F = 2\omega m V \sin \lambda$
 ・物体の速度
 ・ $\sin (\text{緯度})$ に、比例

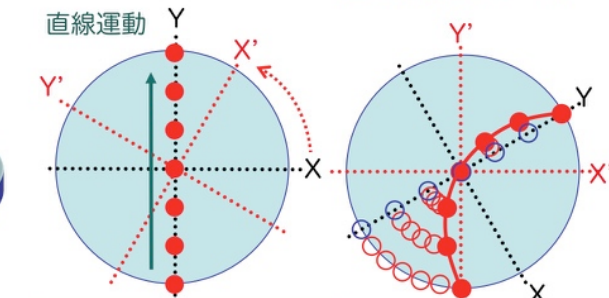


コリオリ効果

回転台上で
玉をころがす



回転台の外から見ると…
 (静止座標系: X-Y)



直線運動
 軌跡を曲げる力
 (見かけの力)
 ▼
 コリオリ力
 (轉向力)

大気循環

◆日射量の緯度変化

→ エネルギー収支の南北不均衡
 → 大気の南北方向の運動（不均衡の是正）

◆地球の自転の影響・コリオリ効果 → 大気循環パターン

◇大気循環パターンの変動

A. 自転軸の傾き → 季節変化

・緯度方向の変化パターン

B. 海陸分布

→ 大気循環パターンの複雑化

熱的特性の違い

・温度分布を複雑化

[大気循環の役割・作用]

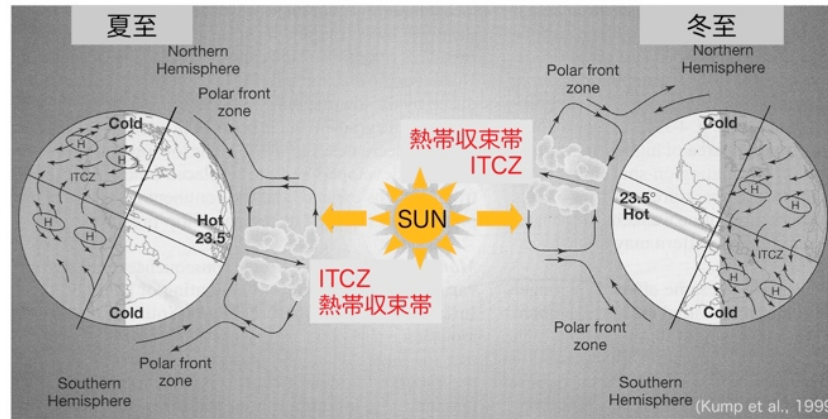
★ 热エネルギーの輸送：温度格差の是正 → 気温分布

★ 水の輸送（循環）・淡水

- ・潜熱としてエネルギー輸送・3相存在（水、水蒸気、氷）
- ・物質を輸送する媒体

大気循環パターンの変動

A. 地軸の傾き → 季節変化



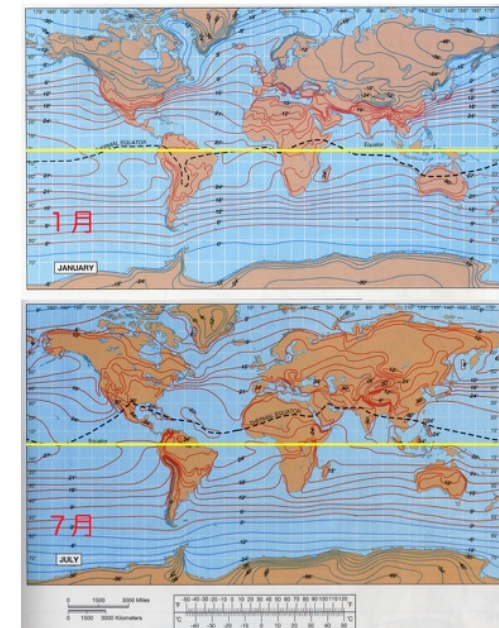
熱帯収束帯の南北移動 → 大気循環パターンの変化
(温度分布の変化)

気温分布

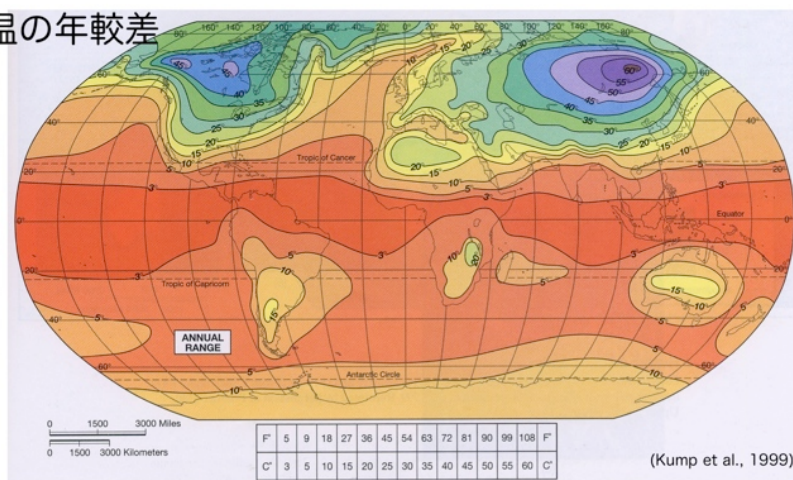
南半球：
経度方向ほぼ一様
北半球：
複雑、特に大陸部

気温分布の季節変化

夏半球：
極～赤道の温度勾配
が弱い
→ 大気循環一弱
冬半球：
極～赤道の温度勾配
が強い
→ 大気循環一強



気温の年較差



- 熱帯域：年較差小 → 緯度が高くなるほど年較差大
 - 変化パターン：南半球…緯度方向に単純、北半球…複雑
- ★ 海陸分布の影響
年較差大：大陸内部、特にユーラシア・北米大陸内部

大気循環パターンの変動

B. 海陸分布

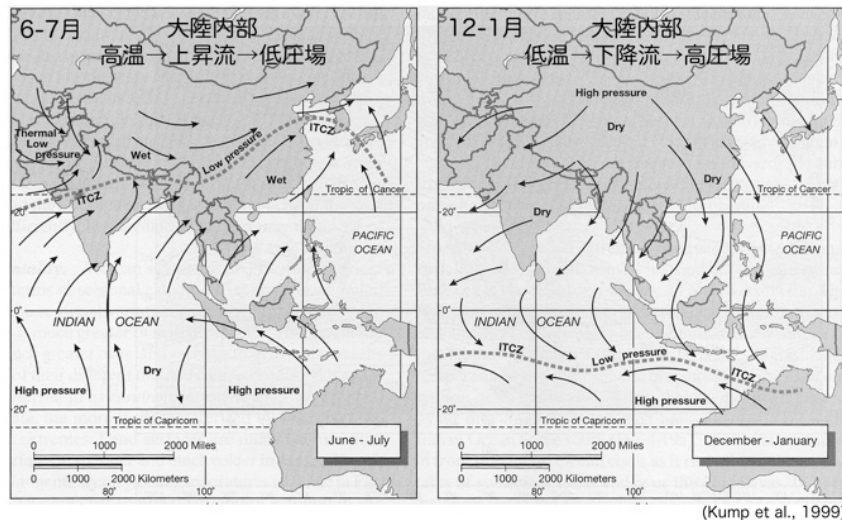
海・陸の熱的特性の違い

- 太陽放射の吸収
 - 海：アルベド0.06…吸収大
 - 陸：アルベド0.2…吸収小
- 吸収したエネルギーの輸送
 - 海：大気へ - 対流、下方へ - 混合 [早い]
 - 陸：大気へ - 対流、下方へ - 伝導 [遅い]
- 熱容量
 - 海>陸 (水は乾燥土壤の3~4倍)
比熱：水 4.18 J/K·g (at 20°C)
花崗岩 0.80~0.84 J/K·g (at 20-100°C)

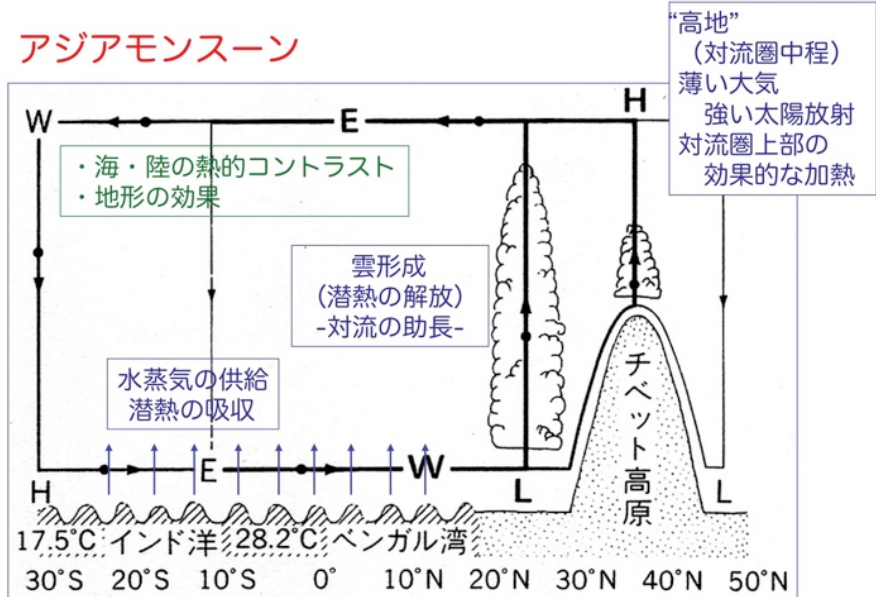
* 海陸分布の大気循環への影響
海風・陸風、アジアモンスーン

海陸分布の大気循環への影響

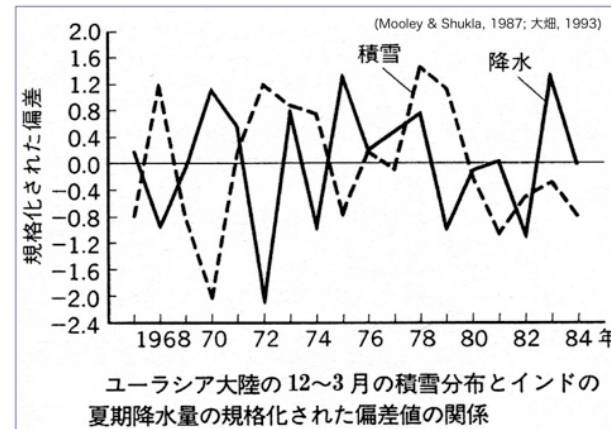
◆アジアモンスーン



アジアモンスーン



アジアモンスーンとユーラシア大陸の積雪

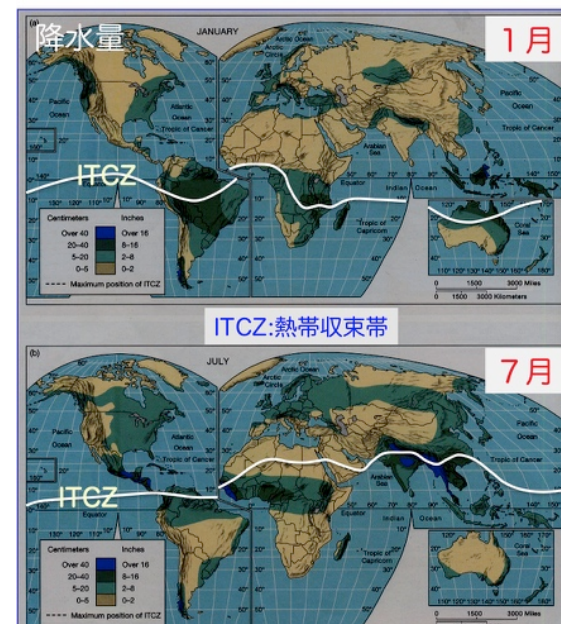


積雪面積とモンスーンの降水量：負の相関

★ 積雪 → 地表の冷却効果

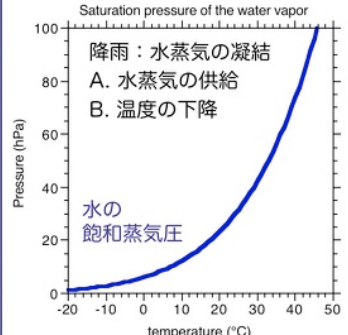
太陽放射の反射、春期の融解・融解水の蒸発（潜熱を奪う）

ユーラシア大陸の加熱が弱まる → モンスーンの抑制



大気循環→水の循環
→ 降水分布

時間的・地域的な変化が大



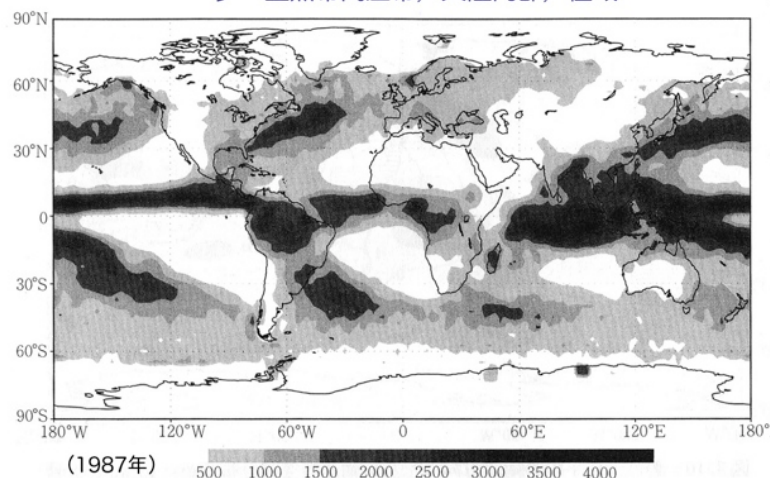
温度の下降・大気の上昇

- 対流による上昇流：
赤道収束帯、積乱雲
- 密度差のある大気の混合：
極前線帯
- 山地での上昇：
山地の風上側で降雨

(Kump et al., 1999)

年降水量

多：熱帯収束帯、極前線帯
少：亜熱帯高圧帯、大陸内部、極域

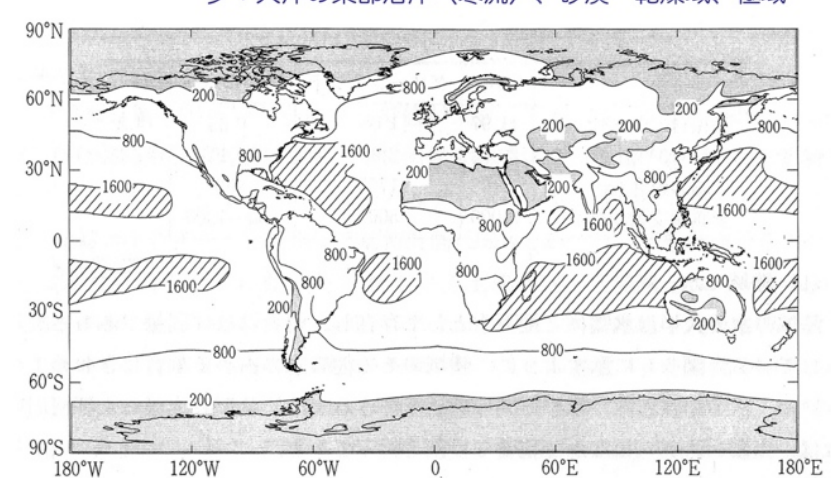


衛星搭載のマイクロ波放射計データと地上雨量データを組み合わせて作成された2.5度グリッドの年降水量(mm)。GPCPより月平均雨量データをftpにて取得し、積算して図化した。

(岩波講座地球惑星科学3, 1996)

年蒸発量

多：亜熱帯高圧帯の海上、大洋の西部沿岸（暖流）
少：大洋の東部沿岸（寒流）、砂漠・乾燥域、極域



年蒸発量(mm/年)の空間分布(Baumgartner and Reichel(1975)にもとづく)。斜線部は1600 mm/年以上の領域、アミの部分は200 mm/年以下の領域を示す。

(岩波講座地球惑星科学3, 1996)

大気循環→水の循環：水蒸気の移動

(a) 降水量－蒸発量の緯度分布

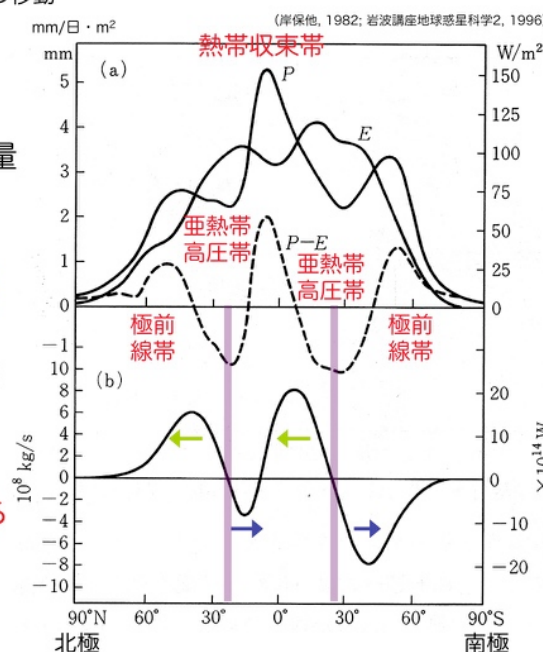
P: 降水量、E: 蒸発量

$P > E$ 热帯収束帯
極前線帯
 $P < E$ 亜熱帯高圧帯

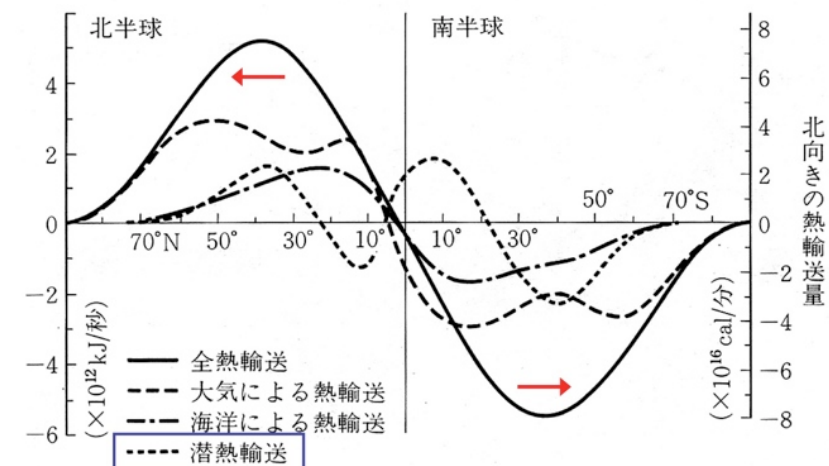
(b) 水蒸気の輸送量

正：北向き
負：南向き

*亜熱帯高圧帯から水蒸気の補給



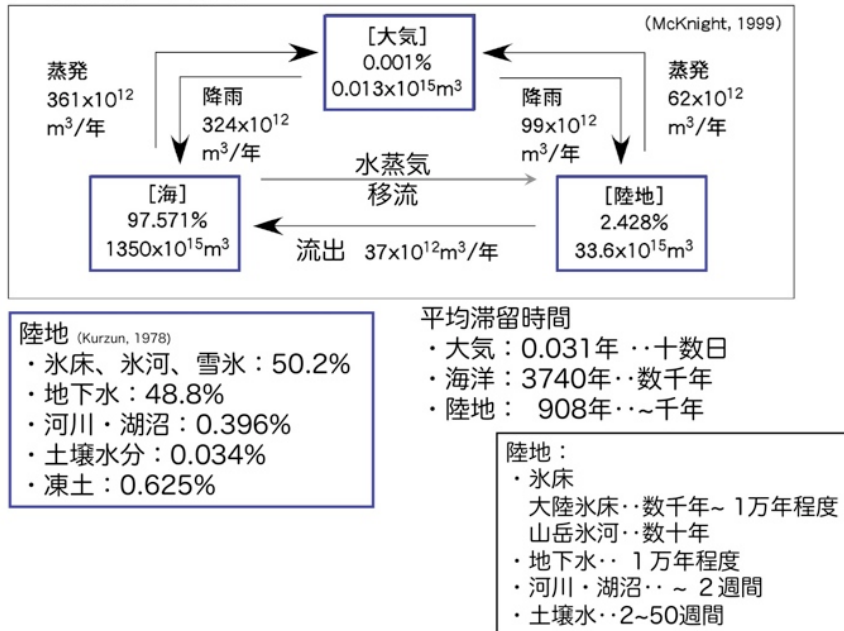
水蒸気の移動・・・潜熱輸送



地球の南北方向におけるエネルギー輸送(浅井富雄(1981))

(岩波講座地球惑星科学2, 1996)

◆水（淡水）の循環



◆陸域の水の移動 → 風化・浸食・運搬作用 → 物質の輸送
「削剥作用」 * 海洋へ物質供給

●削剥作用

(Holeman, 1968; 岩波講座地球惑星科学3, 1996)

| 削剥速度 (mm/年) | | |
|-------------|-------|-------|
| | 物理的 | 化学的 |
| アジア | 0.240 | 0.013 |
| 北米 | 0.038 | 0.013 |
| 南米 | 0.025 | 0.011 |
| 欧州 | 0.014 | 0.017 |
| 豪州 | 0.018 | 0.001 |
| アフリカ | 0.011 | 0.010 |
| 平均 | 0.048 | 0.016 |
| | (75%) | (25%) |

物理的: 浮流物質の測定値から推定
化学的: 溶流物質の測定値から推定

総浮遊量: 135 億トン/年
総溶存量: 39 億トン/年

(岩波講座地球惑星科学9, 1996)

◆陸域の水の移動 → 風化・浸食・運搬作用 → 物質の輸送
「削剥作用」 * 海洋へ物質供給

●削剥作用

化学的: 化学的風化による削剥
物理的: 物理的風化による削剥

◆化学的風化

- 溶解: 岩塩 $\text{NaCl} \cdots \text{NaCl} + \text{H}_2\text{O} \rightarrow \text{Na}^+ + \text{Cl}^-$ (溶液)
- 酸化: Fe^{2+} を含むケイ酸塩鉱物 (カンラン岩, 輝石, 角閃石)
 $2\text{Fe}_2\text{SiO}_4$ (鉄カンラン石) $+ \text{O}_2 + 10\text{H}_2\text{O} \rightarrow 4\text{Fe(OH)}_3 + 2\text{H}_4\text{SiO}_4$
- 酸加水分解: 雨水・土壤水にとけ込んだ $\text{CO}_2 \rightarrow \text{H}_2\text{CO}_3$
石灰岩 $\text{CaCO}_3 + \text{H}_2\text{CO}_3 \rightarrow \text{Ca}^{2+} + 2\text{HCO}_3^-$
斜長石 ($\text{Ca}, \text{Na}, \text{K}, \text{Al}$) $+ \text{H}_2\text{CO}_3 \rightarrow$ 粘土鉱物 (Al) 残留; $\text{Ca}^{2+}, \text{Na}^+, \text{K}^+, \text{HCO}_3^- \cdots$ 溶出

◆物理的風化

- 化学的風化の促進
岩石の割れ目の発生
応力解放, 鉱物の熱膨張率の差, 水の氷結, 間隙水圧

◆陸域の水の移動 → 風化・浸食・運搬作用 → 物質の輸送
「削剥作用」 * 海洋へ物質供給

| 陽イオン組成 (mg/kg) | 河川水 | 大陸地殻 |
|----------------|------|------|
| Al | 0.05 | 80 |
| Fe | 0.04 | 35 |
| Ca | 13.4 | 30 |
| Na | 5.2 | 29 |
| K | 1.3 | 28 |
| Mg | 3.4 | 13 |

(Broecker & Peng, 1982; 地球環境化学入門, 1997)

| イオン濃度 (10^{-3}mol/L) | 河川水 | 海洋 |
|---------------------------------|------|-----|
| Na ⁺ | 0.23 | 470 |
| Mg ²⁺ | 0.14 | 53 |
| Ca ²⁺ | 0.03 | 10 |
| HCO ₃ ⁻ | 0.33 | 10 |
| SO ₄ ²⁻ | 0.85 | 2 |
| Cl ⁻ | 0.09 | 28 |
| Si | 0.16 | 550 |

(Broecker & Peng, 1982; Berner & Berner, 1987; 地球環境化学入門, 1997)